

حل معادله هدایت هذلولوی در جسم کروی

همراه با شرط مرزی غیرخطی

سیف ا... سعد الدین^۱ و علیرضا نصیری کیا^۲

دانشکده مهندسی مکانیک

دانشگاه سمنان

(تاریخ دریافت: ۹۲/۰۹/۱۳؛ تاریخ پذیرش: ۹۳/۰۲/۰۷)

چکیده

در مقاله حاضر معادله هدایت گرمای هذلولوی در یک جسم کروی که سطح خارجی آن تحت تأثیر منبع گرمایی لیزر تابع زمان و خنک‌کاری جابه‌جایی - تشعشعی ترکیبی قرار دارد، با استفاده از روش تبدیل لاپلاس حل شده است. برای به‌کارگیری این روش، شرط مرزی غیرخطی با کمک بسط سری تیلور خطی شده است. از روش تقریب مجموع ریمان نیز برای به‌دست آوردن معکوس تبدیل لاپلاس استفاده شده است. توزیع دما برای مقادیر مختلف زمان آسایش، مدت پالس، نسبت جابه‌جایی - هدایت و نسبت تشعشع به هدایت مورد بررسی قرار گرفته و حل معادلات فوریه و هذلولوی با یکدیگر مقایسه شده است. نتایج این روش با نتایج حل تحلیلی موجود با شرایط مرزی ساده‌تر تأیید شده است.

واژه‌های کلیدی: هدایت گرمای هذلولوی، روش تبدیل لاپلاس، شرط مرزی غیرخطی، کره

Solution of Hyperbolic Heat Conduction Equation in Spherical Media with Nonlinear Boundary Condition

S. Saedodin and A. Nasirikia

Mechanical Engineering Department

Semnan University

(Received: 04 December, 2013; Accepted: 27 April, 2014)

ABSTRACT

In this paper hyperbolic heat conduction equation in spherical media with its outer surface subjected to time dependent laser heat source and combined convective-radiative cooling is solved using Laplace transform method. In order to perform this method, the nonlinear boundary condition is linearized by Taylor's series expansion. The Riemann-sum approximation method is used to obtain the inverse of Laplace transform. The temperature distribution is studied for different values of thermal relaxation time, pulse duration, convection-conduction and radiation-conduction parameters and the solutions of hyperbolic and Fourier equations are also compared. The results of the present method is verified by being compared with available analytical solution results under a simpler boundary condition.

Keywords: Hyperbolic Heat Conduction, Laplace Transform Method, Nonlinear Boundary Condition, Sphere

۱- دانشیار (نویسنده پاسخگو): s_sadodin@iust.ac.ir

۲- کارشناس ارشد: ar.nasirikia@gmail.com

۱- مقدمه

مهندسی این رابطه نتایج قابل قبولی ارائه می‌دهد، اما در موارد مذکور این فرض صحیح نمی‌باشد و در نتیجه بین مشاهدات تجربی و رابطه فوریه ناسازگاری ایجاد می‌گردد.

تلاش‌های زیادی برای رفع این ناسازگاری توسط دانشمندان مختلف انجام گرفته که به ارائه روابط متشکل جدید منجر شده است. از جمله این روابط که کاربرد بسیاری نیز پیدا کرده است می‌توان به روابط متشکل یک‌پسغازی^۴ (SPL) و دوپسغازی^۵ (DPL) اشاره کرد. رابطه متشکل یک‌پسغازی توسط کاتانو^۶ [۱] و ورنوت^۷ [۲] ارائه شده که با نام CV شناخته می‌شود و به صورت زیر است:

$$q(\vec{r}, t + \tau_{relax}) = -k \vec{\nabla} T(\vec{r}, t). \quad (۴)$$

در این رابطه، بین شار گرمایی و توزیع دما یک اختلاف زمانی τ_{relax} وجود دارد که زمان آسایش^۸ نامیده می‌شود. وجود این اختلاف زمانی بدین معنی است که در این معادله متشکل، بر خلاف معادله فوریه، ایجاد گرادیان دما بلافاصله باعث به وجود آمدن شار حرارتی درون جسم نمی‌گردد، بلکه بین آنها یک اختلاف زمانی که زمان آسایش نامیده می‌شود، وجود دارد. زمان آسایش خاصیتی از ماده است. با استفاده از بسط تیلور و چشم‌پوشی از مشتقات مرتبه دوم و بالاتر، معادله (۴) به صورت زیر در می‌آید [۳]:

$$q(\vec{r}, t) + \tau_{relax} \frac{\partial q(\vec{r}, t)}{\partial t} = -k \vec{\nabla} T(\vec{r}, t). \quad (۵)$$

با ترکیب معادله بقای انرژی و رابطه فوق، معادله انتقال گرمای یک‌پسغازی به دست می‌آید:

$$\frac{1}{\alpha} \frac{\partial T}{\partial t} + \frac{\tau_{relax}}{\alpha} \frac{\partial^2 T}{\partial t^2} = \Delta T + \frac{1}{k} (G + \tau_{relax} \frac{\partial G}{\partial t}). \quad (۶)$$

این معادله بر خلاف معادله (۳) یک معادله دیفرانسیل با مشتقات جزئی هذلولوی^۹ است. برای حل این معادله، علاوه بر شرایط مرزی به دو شرط اولیه برای تعیین پاسخ نیاز است که در ادامه ارائه خواهد شد.

تفاوت عمده روابط متشکل (۳ و ۶) در سرعت انتشار امواج گرمایی است. بر خلاف معادله فوریه که در آن سرعت انتشار امواج حرارتی بی‌نهایت فرض می‌شود، در معادله انتقال گرمای یک‌پسغازی سرعت انتشار امواج گرمایی محدود در نظر گرفته

مسائل هدایت گرمایی در مهندسی با استفاده از معادله بقای انرژی همراه با یک رابطه متشکل^۱ حل می‌شوند. معادله بقای انرژی در حالت کلی به صورت زیر است:

$$\rho c \frac{\partial T(\vec{r}, t)}{\partial t} + \nabla \cdot q(\vec{r}, t) - G(\vec{r}, t) = 0, \quad (۱)$$

که در رابطه فوق، $q(\vec{r}, t)$ بردار شار حرارتی و G نرخ تولید انرژی داخلی بر واحد حجم می‌باشد. رابطه متشکل تئوری کلاسیک هدایت گرمایی، رابطه فوریه است. صورت کلی این رابطه در حالت سه‌بعدی به صورت زیر است:

$$q(\vec{r}, t) = -k \vec{\nabla} T(\vec{r}, t), \quad (۲)$$

در رابطه فوق، بردار شار حرارتی به‌طور مستقیم متناسب با بردار تغییر دما است و بین آنها هیچ‌گونه اختلاف زمانی وجود ندارد و به محض به وجود آمدن تغییرات دما در جسم، شار حرارتی در آن به وجود می‌آید. در این رابطه ثابت تناسب k ضریب هدایت گرمایی است. ترکیب رابطه فوریه با معادله بقای انرژی به معادله زیر منجر می‌شود:

$$\frac{1}{\alpha} \frac{\partial T(\vec{r}, t)}{\partial t} = \Delta T(\vec{r}, t) + \frac{1}{k} G(\vec{r}, t), \quad (۳)$$

معادله فوق، توزیع دما را در حالت سه‌بعدی و ناپایدار ارائه می‌دهد که این رابطه، یک معادله دیفرانسیل با مشتقات جزئی از نوع سهموی است و پخش^۲ حرارت درون جسم را توصیف می‌کند. حل این رابطه به شرایط مرزی بر روی تمامی سطوح جسم و تنها یک شرط اولیه نیاز دارد. این رابطه از زمان ارائه توسط فوریه تا چند دهه قبل تنها رابطه متشکل موجود در بحث هدایت گرمایی بود و با تمامی نتایج تجربی سازگاری داشت. اما با پیشرفت فناوری، در مواردی بین نتایج آزمایشگاهی و پاسخ پیش‌بینی شده از رابطه فوریه ناسازگاری مشاهده شد. از جمله این موارد عدم سازگاری می‌توان به توزیع دما در نزدیکی صفر مطلق، در اجسام تحت تأثیر شار حرارتی بالا و فرایندهای گذرای بسیار سریع اشاره کرد. دلیل این ناسازگاری، فرض پاسخ آنی به تغییرات شرایط مرزی است که در رابطه فوریه وجود دارد. این فرض مستلزم بی‌نهایت بودن سرعت انتشار امواج گرمایی^۳ است. این فرض از لحاظ فیزیکی نادرست است، اما سرعت انتشار امواج گرمایی در بسیاری از مواد بالا بوده و بنابراین در بسیاری از کاربردهای متعارف

4- Single-Phase Lag

5- Dual-Phase Lag

6- Cattaneo & Vernotte

7- Vernotte

8- Relaxation Time

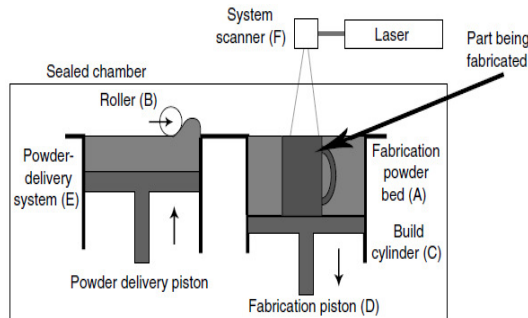
9- Hyperbolic

1- Constitutive Relation

2- Diffusion

3- Heat Wave

انجام گرفته است. جیانگ^۶ این معادله را در کره توخالی با شرط مرزی دما ثابت در سطح داخلی و خارجی حل کرده است [۹]. لواندوفسکا^۷ با استفاده از روش تبدیل لاپلاس، معادله یکپسفازی را برای یک جامد نیمه بی‌نهایت تحت تابش لیزر، مورد تحلیل و بررسی قرار داده است [۱۰].



شکل (۱): نمای کلی فرآیند تفجوشی انتخابی به‌وسیله لیزر.

دای^۸ و همکاران پاسخ معادله دوپسفازی برای ذرات در مقیاس میکرو را با استفاده از روش تفاضل محدود به‌دست آورده‌اند [۱۱]. رضا شیرمحمدی توزیع دما را در یک کره تحت تابش لیزر با استفاده از معادله یکپسفازی به روش جداسازی متغیرها و قضیه انتگرال دوهمال^۹ محاسبه کرده است [۱۲]. در مقاله دیگری وی به‌همراه امین موسایی، این معادله را با شرط مرزی تناوبی حل نموده است [۱۳]. بابایی و چن^{۱۰} معادله هدایت گرمایی یکپسفازی را در کره توخالی با خواص تابعی^{۱۱} مورد بررسی قرار داده‌اند [۱۴]. چن و چن، تغییرات دما در راستای شعاعی در مختصات استوانه‌ای و کرومی را با استفاده از تابع گرین و تبدیل لاپلاس محاسبه کرده‌اند [۱۵]. در مراجع مختلف، معادله با شرایط مرزی ساده مورد تحلیل قرار گرفته و تاکنون اثر شار حرارتی لیزر و خنک‌کاری تشعشی و جابه‌جایی به‌صورت هم‌زمان در نظر گرفته نشده است.

۲- فرمولاسیون مسئله

در ابتدا یک جسم کرومی همانند شکل ۲ در نظر گرفته می‌شود. این جسم ابتدا در دمای ثابت T_0 که برابر با دمای محیط می‌باشد، قرار دارد.

می‌شود. سرعت انتشار امواج در معادله مذکور از رابطه زیر به‌دست می‌آید:

$$V_{CV} = \sqrt{\frac{k}{\rho C \tau_{relax}}} \quad (7)$$

از موارد کاربرد معادله هدایت گرمایی یکپسفازی در مختصات کرومی می‌توان به فرآیند تفجوشی انتخابی به‌وسیله لیزر^۱ اشاره کرد. در این فرآیند که یک روش نمونه‌سازی سریع^۲ است، ابتدا مدل سه‌بعدی جسم با استفاده از یکی از نرم‌افزارهای طراحی و ساخت با کمک رایانه^۳ ایجاد می‌شود. سپس سطح یا حجم مدل شده به فایل با فرمت STL^۴ تبدیل می‌گردد. در مرحله بعد این فایل به تعداد زیادی سطح مقطع نازک تقسیم شده و اطلاعات هندسی مربوط به هر سطح، به دستگاه نمونه‌سازی ارسال می‌شود. در این دستگاه نخست یک لایه نازک از پودر زودگذاز بر روی محفظه ساخت قطعه پاشیده می‌شود. در مرحله بعد پایین‌ترین سطح مقطع جسم با کمک لیزر به‌صورت انتخابی ایجاد می‌شود. در این فرآیند برهمکنش لیزر با پودر دمای سطح آن را تا دمای ذوب بالا می‌برد و در نتیجه ذرات پودر گداخته شده به هم متصل و یک جسم جامد را تشکیل می‌دهند که به این پدیده تفجوشی گفته می‌شود. پس از ایجاد هر سطح، بستر به میزان ضخامت لایه ایجاد شده پایین رفته و یک لایه جدید پودر بر روی لایه قبلی با کمک یک سازوکار غلتکی پاشیده می‌شود. این فرآیند تا اتمام ساخت قطعه ادامه می‌یابد. پس از اتمام فرآیند، قطعه از محفظه ساخت خارج می‌شود. ذرات پودری که خارج از محدوده سطوح بوده و تحت تابش اشعه لیزر قرار نگرفته‌اند نیز به‌آسانی از جسم جدا می‌شوند. این ذرات نقش نگهدارنده^۵ را در حین این فرآیند بر عهده دارند و بنابراین در روش فوق نیازی به یک نگهدارنده خارجی نمی‌باشد. نمای کلی این فرآیند در شکل ۱ ارائه شده است [۴-۶].

پژوهش‌های زیادی برای مدل‌سازی فرآیند نمونه‌سازی انجام گردیده که در برخی از آنها از رابطه فوریه استفاده شده است [۷ و ۸]. همچنین تحقیقات گوناگونی برای حل معادله هدایت گرمایی هذلولوی در هندسه‌ها و شرایط مرزی مختلف

6- Jiang
7- Lewandowska
8- Dai
9- Duhamel's Integral Theorem
10- Chen
11- Functionally Graded

1- Selective Laser Sintering (Sls)
2- Rapid Prototyping
3- Cad/Cam Software
4- Standard Transform Language
5- Support

$$\begin{cases} k \frac{\partial T(r,t)}{\partial r} \Big|_{r=r_0} = \frac{q_0}{t_p} (q(t) + \tau_{relax} \frac{\partial q(t)}{\partial t}) - \\ h((T - T_0) + \tau_{relax} \frac{\partial (T - T_0)}{\partial t}) \\ - \varepsilon \sigma (T^4 - T_0^4) + \tau_{relax} \frac{\partial (T^4 - T_0^4)}{\partial t} \\ q(t) = \frac{t}{t_p} \exp(-\frac{t}{t_p}), \end{cases} \quad (12)$$

که در رابطه فوق، h ضریب انتقال حرارت جابه‌جایی، ε ضریب صدور کره و σ ثابت استفان-بولتزمن می‌باشد.

در حالت کره توپیر شرط مرزی در مرکز به صورت زیر است:

$$\frac{\partial T(r,t)}{\partial r} \Big|_{r=0} = 0. \quad (13)$$

در حالت کره توخالی سطح داخلی کره به صورت عایق در نظر گرفته می‌شود:

$$\frac{\partial T(r,t)}{\partial r} \Big|_{r=r_i} = 0. \quad (14)$$

در ابتدا به لزوم وجود دو شرط اولیه برای حل معادلات با مشتقات جزئی هذلولوی اشاره شد. شرط اولیه نخست به شرح زیر است:

$$T(r,0) = T_0. \quad (15)$$

این شرط اولیه با حالت سهموی مشترک است. در مراجع مختلف شرط اولیه دوم [۱۲، ۱۶، ۱۷] به صورت زیر ارائه شده که برای حل معادله از آن استفاده می‌شود:

$$\frac{\partial T(r,t)}{\partial t} \Big|_{r=0} = 0. \quad (16)$$

برای بی‌بعدسازی و حل مسئله، متغیرهای زیر معرفی می‌شود:

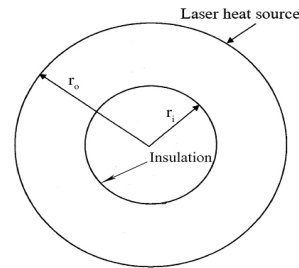
$$\eta = \frac{r}{r_0} \quad \tau = \frac{\alpha t}{r_0^2} \quad Ve^2 = \frac{\alpha \tau_{relax}}{r_0^2} \quad \theta = \frac{(T - T_0)}{T_r} \quad \tau_p = \frac{\alpha t_p}{r_0^2} \quad T_r = \frac{q_0}{\rho c r_0} \quad (17)$$

$$N_c = \frac{hr_0}{k} \quad N_r = \frac{\varepsilon \sigma r_0 T_r^3}{k}$$

در این رابطه، η شعاع بی‌بعد، τ زمان بی‌بعد، N_c نسبت جابه‌جایی به هدایت یا عدد بیوت و N_r نسبت تشعشع به هدایت است. T_r نیز دمای مرجع نامیده می‌شود [۱۸]. با استفاده از متغیرهای فوق، معادله به صورت بدون بعد درمی‌آید:

$$\frac{\partial^2 \theta}{\partial \eta^2} + \frac{2}{\eta} \frac{\partial \theta}{\partial \eta} = \frac{\partial \theta}{\partial \tau} + Ve^2 \frac{\partial^2 \theta}{\partial \tau^2}. \quad (18)$$

صورت بدون بعد شرایط اولیه به صورت زیر است:



شکل (۲): نمودار شماتیک کره.

در این مقاله توزیع دما در دو حالت کره توپیر و کره توخالی بررسی می‌شود. شعاع خارجی جسم در هر دو حالت برابر r_o و در حالت کره توخالی شعاع داخلی کره برابر r_i است.

معادله هدایت گرمایی یک‌پس‌فازی برای جسم کروی فاقد منبع تولید انرژی داخلی، در حالت یک‌بعدی به صورت زیر می‌باشد:

$$\frac{\partial^2 T}{\partial r^2} + \frac{2}{r} \frac{\partial T}{\partial r} = \frac{1}{\alpha} \frac{\partial T}{\partial t} + \frac{\tau_{relax}}{\alpha} \frac{\partial^2 T}{\partial t^2}. \quad (8)$$

در لحظه $t=0$ سطح این کره تحت تابش یک لیزر از نوع Q-S قرار می‌گیرد. توان لیزر وابسته به زمان و به صورت زیر می‌باشد [۱۲]:

$$Q(t) = q_0 \frac{t}{t_p} \exp(-\frac{t}{t_p}), \quad (9)$$

که در این رابطه، q_0 توان لیزر بر واحد سطح مقطع پرتو لیزر و t_p زمان مشخصه^۱ لیزر است. لازم به ذکر است که زمان مشخصه، متناسب با مدت زمان تابش لیزر می‌باشد. در تحلیل مسئله فرض می‌شود تمامی انرژی وارده از سوی لیزر، در سطح کره جذب می‌گردد. خواص ماده نیز ثابت در نظر گرفته می‌شود. در این مسئله شرط مرزی در سطح خارجی کره با توجه به معادله متشکله به صورت زیر می‌باشد:

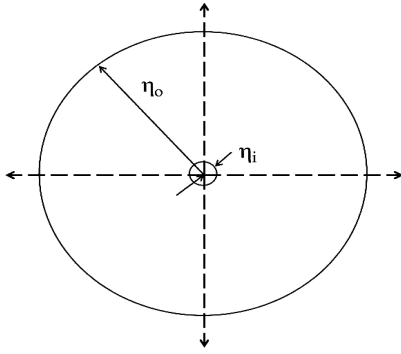
$$k \frac{\partial T(r,t)}{\partial r} \Big|_{r=r_0} = (q_t(t) + \tau_{relax} \frac{\partial q_t(t)}{\partial t}), \quad (10)$$

در رابطه فوق، $q_t(t)$ شار حرارتی کلی بوده و با در نظر گرفتن منبع گرمایی لیزر تابع زمان و خنک‌کاری جابه‌جایی-تشعشعی ترکیبی از رابطه زیر به دست می‌آید:

$$q_t(t) = q_{laser} - q_{convection} - q_{radiation}. \quad (11)$$

با ترکیب معادلات (۱۰ و ۱۱)، شرط مرزی در سطح خارجی در نهایت به صورت زیر می‌باشد:

1- Q-Switched
2- Characteristic Time



شکل (۳): حذف نقطه تکین از قلمرو محاسبات.

۳- حل معادله با استفاده از تبدیل لاپلاس

یکی از روش‌های حل معادلات دیفرانسیل با مشتقات جزئی، استفاده از تبدیلات لاپلاس و فوریه است. این شیوه برای حل معادله هدایت فوریه‌ای در حالت پایدار و گذرا در مسائل مختلف به کار گرفته شده است [۲۵-۲۲]. برای حل معادله هدایت فوریه‌ای در حالت گذرا، از تبدیل لاپلاس استفاده می‌شود. برای حل معادله هدایت گرمای هذلولوی نیز از این تبدیل می‌توان استفاده کرد [۹ و ۱۵]. در مقاله حاضر برای حل معادله (۱۸) به همراه شرایط اولیه (۱۹ و ۲۰) و نیز شرط مرزی (۲۲) به همراه شرط مرزی (۲۳) یا (۲۴) از تبدیل لاپلاس استفاده می‌شود. با کمک این تبدیل عبارات مشتق نسبت به زمان حذف شده و معادله دیفرانسیل با مشتقات جزئی به معادله دیفرانسیل معمولی تبدیل می‌گردد. تبدیل لاپلاس دمای بی‌بعد به صورت زیر تعریف می‌شود:

$$L[\theta(\eta, \tau)] = \int_0^{\infty} \theta(\eta, \tau) e^{-s\tau} d\tau. \quad (25)$$

با اعمال این تبدیل به معادله (۱۸) معادله زیر حاصل می‌شود:

$$L\left[\frac{\partial^2 \theta}{\partial \eta^2}\right] + L\left[\frac{2}{\eta} \frac{\partial \theta}{\partial \eta}\right] = L\left[\frac{\partial \theta}{\partial \tau}\right] + Ve^2 L\left[\frac{\partial^2 \theta}{\partial \tau^2}\right]. \quad (26)$$

تبدیل لاپلاس مشتق اول و دوم نسبت به زمان با کمک روابط زیر به دست می‌آیند:

$$L\left[\frac{\partial \theta}{\partial \tau}\right] = s\tilde{\theta}(\eta, s) - \theta(\eta, 0), \quad (27)$$

$$L\left[\frac{\partial^2 \theta}{\partial \tau^2}\right] = s^2\tilde{\theta}(\eta, s) - s\theta(\eta, 0) - \frac{\partial \theta(\eta, \tau)}{\partial \tau} \Big|_{\tau=0}. \quad (28)$$

با استفاده از شرایط اولیه (۱۹ و ۲۰) روابط فوق به صورت زیر ساده می‌شوند:

$$\theta(\eta, 0) = 0, \quad (19)$$

$$\frac{\partial \theta(\eta, \tau)}{\partial \tau} \Big|_{\tau=0} = 0. \quad (20)$$

شرط مرزی در سطح خارجی جسم نیز با استفاده از متغیرهای رابطه (۱۷) به صورت زیر می‌باشد:

$$\begin{aligned} \frac{\partial \theta(\eta, \tau)}{\partial \eta} \Big|_{\eta=1} &= \frac{1}{\tau_p^2} \exp\left(-\frac{\tau}{\tau_p}\right) \left[\tau \left(1 - \frac{Ve^2}{\tau_p}\right) + Ve^2 \right] \\ -N_r (\theta + Ve^2) \frac{\partial \theta}{\partial \tau} - N_r \left[\left(\theta + \frac{T_0}{T_r}\right)^4 - \left(\theta_{\infty} + \frac{T_0}{T_r}\right)^4 \right] \\ + Ve^2 \frac{\partial}{\partial \tau} \left[\left(\theta + \frac{T_0}{T_r}\right)^4 - \left(\theta_{\infty} + \frac{T_0}{T_r}\right)^4 \right]. \end{aligned} \quad (21)$$

واضح است اگر N_r مخالف صفر باشد، شرط مرزی (۲۱) به صورت غیرخطی درمی‌آید، تحلیل مسائل غیرخطی دشوار بوده و به همین علت شرط مرزی در سطح خارجی کره باید خطی شود. این خطی‌سازی با استفاده از تقریب سری تیلور [۱۸ و ۱۹] انجام گرفته و شکل خطی شده شرط مرزی به صورت زیر است:

$$\begin{aligned} \frac{\partial \theta(\eta, \tau)}{\partial \eta} \Big|_{\eta=1} &= \frac{1}{\tau_p^2} \exp\left(-\frac{\tau}{\tau_p}\right) \left[\tau \left(1 - \frac{Ve^2}{\tau_p}\right) + Ve^2 \right] - \\ N_r (\theta + Ve^2) \frac{\partial \theta}{\partial \tau} - N_r \left[4\left(\bar{\theta} + \frac{T_0}{T_r}\right)^3 \left(\theta + \frac{T_0}{T_r}\right) \right. \\ &\quad \left. - 3\left(\bar{\theta} + \frac{T_0}{T_r}\right)^3 - \left(\theta_{\infty} + \frac{T_0}{T_r}\right)^4 + Ve^2 \frac{\partial}{\partial \tau} \left(4\left(\bar{\theta} + \frac{T_0}{T_r}\right)^3 \left(\theta + \frac{T_0}{T_r}\right) \right. \right. \\ &\quad \left. \left. - 3\left(\bar{\theta} + \frac{T_0}{T_r}\right)^3 - \left(\theta_{\infty} + \frac{T_0}{T_r}\right)^4 \right) \right]. \end{aligned} \quad (22)$$

در این رابطه، $\bar{\theta}$ یک عدد تخمینی و یا مقدار θ در تکرار قبلی است. صورت بدون بعد شرط مرزی دوم برای کره توخالی و برای کره توپر به ترتیب با معادلات (۲۳ و ۲۴) بیان می‌شود:

$$\frac{\partial \theta(\eta, \tau)}{\partial \eta} \Big|_{\eta=\eta_i} = 0 \quad (23)$$

$$\frac{\partial \theta(\eta, \tau)}{\partial \eta} \Big|_{\eta=0} = 0 \quad (24)$$

نکته مهم در محاسبه توزیع دما در کره توپر، وجود یک نقطه تکین در مرکز کره می‌باشد. لازم به ذکر است که تعیین دما در این نقطه ممکن نمی‌باشد، چون پاسخ معادلات به عدد ثابت تقسیم بر صفر که معادل بی‌نهایت است، منجر می‌شود. با استفاده از روش ارائه شده در مراجع [۲۰ و ۲۱] این مشکل رفع می‌گردد و برای حذف این نقطه تکین شعاع داخلی یک مقدار بسیار کوچک اما مخالف صفر (همانند شکل ۳) فرض می‌شود. در نتیجه این نقطه از قلمرو محاسبات خارج می‌شود.

تحلیلی به دست می‌آید که این جواب طولانی بوده و برای رعایت اختصار در اینجا ارائه نمی‌شود.

۴- محاسبه لاپلاس معکوس تابع پاسخ

برای محاسبه توزیع دما در کره می‌بایست تبدیل لاپلاس معکوس پاسخ به دست آمده در قسمت قبل را محاسبه کرد، اما این کار به روش تحلیلی ارائه شده در کتاب‌های معادلات دیفرانسیل مقدماتی و با استفاده از جداول تبدیل لاپلاس امکان‌پذیر نمی‌باشد. محاسبه لاپلاس معکوس به صورت تحلیلی و مستقیم با استفاده از قضیه بروموویچ نیز به علت پیچیدگی انتگرال‌های حاصل شده، امکان‌پذیر نمی‌باشد. بدین علت از روش‌های تحلیلی - عددی برای تعیین لاپلاس معکوس استفاده می‌شود. محاسبه لاپلاس معکوس به شیوه عددی، یک مسئله به طور ذاتاً بدرفتار^۱ است. علت این موضوع، ضرب تابع نمایی زمان در تابعی که لاپلاس معکوس آن محاسبه می‌گردد، می‌باشد. با این وجود، شیوه‌های عددی مختلفی برای این منظور وجود دارد که هر کدام از آنها مزیت‌ها و محدودیت‌های خاص خود را دارند و برای محاسبه لاپلاس معکوس توابع خاصی مناسب هستند و اگر روش عددی با توجه به نوع تابع به درستی انتخاب نگردد، امکان واگرایی جواب وجود دارد. از جمله این روش‌ها می‌توان به روش گیور^۲ [۲۶]، روش تالبوت^۳ [۲۷]، روش لاپلاس معکوس سریع^۴ [۱۴]، روش ویکس^۵ [۲۸] و روش تقریب مجموع ریمان [۲۹] اشاره کرد.

در این مقاله از روش آخر برای محاسبه لاپلاس معکوس استفاده شده است. در این روش انتگرال حاصل از قضیه بروموویچ به صورت عددی و با استفاده از رابطه زیر محاسبه می‌شود:

$$\theta_N(\eta, \tau) = \frac{e^{\gamma\tau}}{\tau} \left[\frac{1}{2} \tilde{\theta}(\eta, \gamma) + \operatorname{Re} \sum_{n=1}^N \tilde{\theta}(\eta, \gamma + \frac{i n \pi}{\tau}) (-1)^n \right], \quad (35)$$

که در این رابطه، $\tilde{\theta}$ لاپلاس دمای بی‌بعد بوده که از حل معادله (۳۱) به همراه شرایط مرزی آن حاصل شده است. عبارت Re به معنای قسمت حقیقی عبارت و مقدار بیشینه N برابر

$$L\left[\frac{\partial \theta}{\partial \tau}\right] = s \tilde{\theta}(\eta, s), \quad (29)$$

$$L\left[\frac{\partial^2 \theta}{\partial \tau^2}\right] = s^2 \tilde{\theta}(\eta, s). \quad (30)$$

تبدیل لاپلاس در اصل متغیر زمان را از مسئله حذف می‌کند و همان‌طور که دیده می‌شود، شرایط اولیه تنها در تعیین تبدیل لاپلاس مشتق جزئی مرتبه اول و دوم نسبت به زمان مؤثر هستند و در حل معادله نقشی به صورت مستقل ندارند. این تبدیل تأثیری بر روی مشتقات اول و دوم دما نسبت به مکان بی‌بعد ندارد و تنها دما را به حوزه لاپلاس منتقل می‌کند. در نتیجه با کمک روابط (۲۹ و ۳۰) معادله (۳۱) به صورت زیر در می‌آید:

$$\frac{\partial^2 \tilde{\theta}}{\partial \eta^2} + \frac{2}{\eta} \frac{\partial \tilde{\theta}}{\partial \eta} = s \tilde{\theta}(\eta, s) + Ve^2 s^2 \tilde{\theta}(\eta, s) \quad (31)$$

با اعمال این تبدیل به معادله (۲۲)، شرایط مرزی در سطح خارجی جسم در حوزه لاپلاس به صورت زیر به دست می‌آید:

$$\left. \frac{\partial \tilde{\theta}(\eta, \tau)}{\partial \eta} \right|_{\eta=1} = \frac{1}{\tau_p^2} \left[\left(1 - \frac{Ve^2}{\tau_p}\right) \left(\frac{\tau_p}{s \tau_p + 1}\right)^2 + Ve^2 \frac{\tau_p}{s \tau_p + 1} \right] - N_c (1 + Ve^2 s) \tilde{\theta}(\eta, s) \quad (32)$$

$$-N_r (1 + Ve^2 s) \left[4 \left(\bar{\theta} + \frac{T_0}{T_r}\right)^3 \left(\tilde{\theta}(\eta, s) + \frac{T_0}{s T_r}\right) - \frac{3}{s} \left(\bar{\theta} + \frac{T_0}{T_r}\right)^3 - \frac{1}{s} \left(\bar{\theta}_\infty + \frac{T_0}{T_r}\right)^4 \right].$$

در محاسبات صورت گرفته، دمای اولیه کره برابر با دمای محیط در نظر گرفته شده است. نمودارهای توزیع دما نیز برای $\frac{T_0}{T_r} = 0.1$ ارائه شده است. همچنین در سطح داخلی با توجه به معادلات (۲۳ و ۲۴)، شرایط مرزی در حوزه لاپلاس به شرح زیر می‌باشد:

$$\left. \frac{\partial \tilde{\theta}(\eta, s)}{\partial \eta} \right|_{\eta=0} = 0, \quad (33)$$

$$\left. \frac{\partial \tilde{\theta}(\eta, s)}{\partial \eta} \right|_{\eta=0} = 0. \quad (34)$$

در نتیجه اعمال تبدیل لاپلاس، یک معادله دیفرانسیل معمولی مرتبه دوم با دو شرط مرزی در هر دو حالت کره توپیر و کره توخالی حاصل می‌گردد. پاسخ این معادله با استفاده از دستور حل معادله دیفرانسیل معمولی در نرم‌افزارهای محاسبات نمادین ریاضی مانند MAPLE و MATHEMATICA به صورت

1- Inherently Ill-Posed

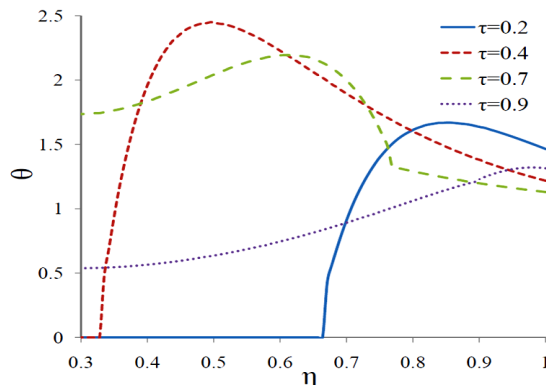
2- Gaver

3- Talbot

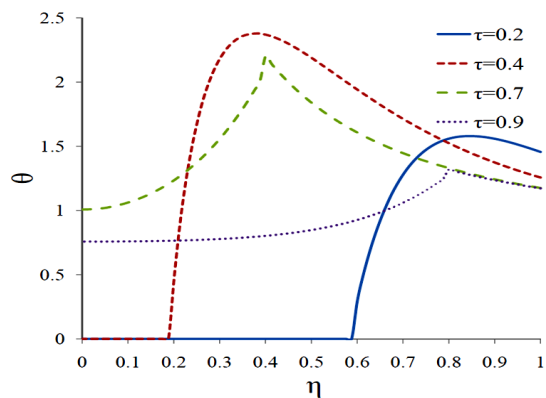
4- Fast Laplace Inversion Technique (Flit)

5 - Weeks

۶ توزیع دمای بدون بعد در کره توپر برای $N_c=0/1$ ، $N_r=0/1$ و $Ve=0/5$ و $\tau_p=0/1$ ارائه شده است.



شکل (۵): توزیع دما در کره توخالی در زمان‌های مختلف.



شکل (۶): توزیع دما در کره توپر در زمان‌های مختلف.

در شکل ۵ با مقایسه نمودارهای مختلف، حرکت موج حرارتی ناشی از اعمال لیزر بر روی سطح جسم در کره توخالی به خوبی مشخص می‌شود. با گذشت زمان، این موج به سمت سطح داخلی کره حرکت می‌کند و حرارت درون کره منتشر می‌شود (نمودارهای $\tau=0/2$ و $\tau=0/4$) و پس از آن به علت عایق بودن سطح داخلی کره این موج پس از رسیدن به این سطح، بازگشت پیدا می‌کند. با حرکت موج درون کره و انتشار گرما، این انتظار وجود دارد که دامنه موج کاهش یابد، اما به علت محدب بودن سطح عمود بر جبهه موج، میزان ظرفیت حرارتی حجمی کاهش یافته و با وجود پخش گرما در جسم، دامنه موج افزایش می‌یابد. در موج برگشتی این پدیده به صورت معکوس رخ می‌دهد و به علت مقعر بودن سطح، کاهش دامنه موج به علت پخش حرارت در درون جسم، تشدید می‌شود (نمودارهای $\tau=0/7$ و $\tau=0/9$).

4×10^6 است. متغیر γ نیز با استفاده از رابطه زیر محاسبه می‌شود:

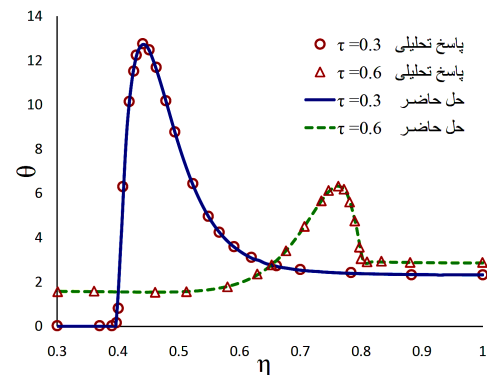
$$\gamma = \frac{4.7}{\tau}, \quad (36)$$

معیار همگرایی و نیز دقت سری پاسخ معادله، توسط رابطه زیر به دست می‌آید:

$$\left| \frac{\theta_N - \theta_{N-1}}{\theta_{N-1}} \right| \leq 10^{-6}. \quad (37)$$

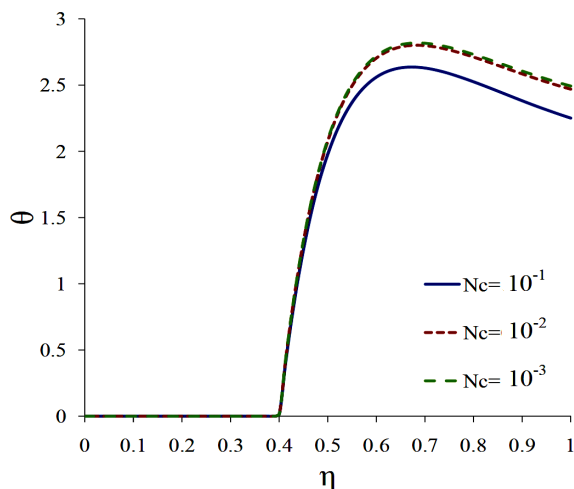
۵- تحلیل و بررسی نتایج

برای بررسی و اطمینان از صحت پاسخ‌های به دست آمده توسط این روش، نتایج حاصل با پاسخ تحلیلی موجود در حالات ساده‌تر مقایسه شده است. در مرجع [۱۲] معادله هدایت غیرفوری‌ای در یک کره توخالی تحت تابش لیزر Q-S و بدون در نظر گرفتن انتقال حرارت از کره به محیط اطراف توسط سازوکارهای جابه‌جایی و تشعشع و با کمک روش جداسازی متغیرها و قضیه انتگرال دوهمال حل شده است. در شکل ۴ توزیع شعاعی دما با فرض $N_i=N_c=0$ برای $Ve=0/5$ ، $\tau_p=0/2$ و $\tau=0/3$ و $\tau=0/6$ ارائه شده و با نتایج موجود در مرجع مذکور مقایسه شده است. همان‌طور که در شکل مشهود است، تطابق خوبی بین نتایج روش تحلیلی و روش حاضر وجود دارد. کلیه نمودارهای توزیع دما در کره توخالی برای شعاع داخلی $\eta_i=0/3$ ارائه شده است.



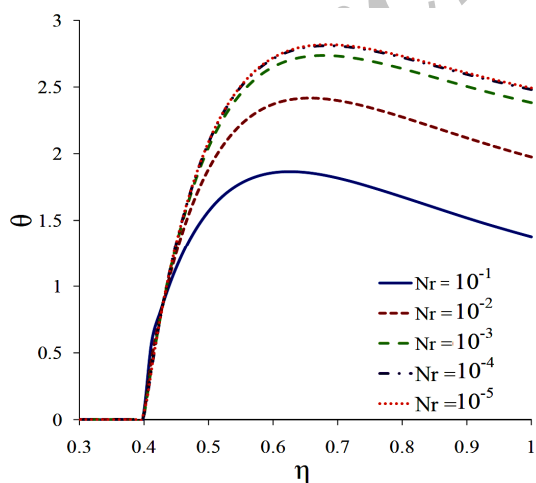
شکل (۴): توزیع دما در کره توخالی با شعاع داخلی $0/3$ و مقایسه پاسخ تحلیلی و حل حاضر.

شکل‌های ۵ و ۶ توزیع دمای بدون بعد را در زمان‌های مختلف به‌عنوان تابعی از موقعیت شعاعی در کره توخالی و توپر نشان می‌دهد. در شکل ۵ توزیع دمای بدون بعد در کره توخالی برای $N_c=0/1$ ، $N_r=0/1$ و $Ve=0/6$ و $\tau_p=0/1$ و در شکل



شکل (۸): توزیع دما در کره توپر برای مقادیر مختلف نسبت جابه‌جایی به هدایت.

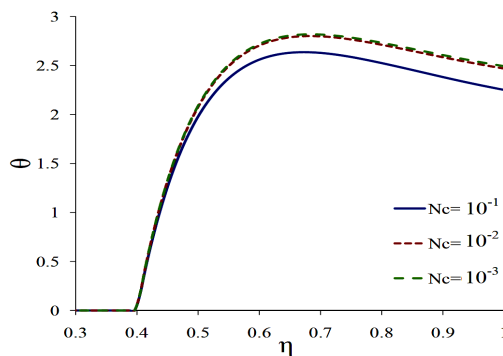
شکل‌های ۹ و ۱۰ توزیع دما را با فرض متغیر بودن نسبت تشعشع به هدایت و ثابت بودن کمیت‌های دیگر در کره توپر و توخالی نشان می‌دهد. نمودارهای توزیع دما برای $N_c = 10^{-3}$ ، $N_c = 10^{-5}$ ، $Ve = 0/5$ ، $\tau = 0/3$ و $\tau_p = 0/1$ رسم شده است. زمانی که قدرت انتقال حرارت تشعشعی بالاتر می‌رود، مانند حالت قبل دما در ناحیه پس از جبهه موج کاهش می‌یابد. در این شکل‌ها نمودار توزیع دما برای $N_r = 10^{-4}$ و $N_r = 10^{-5}$ اختلاف اندکی دارند و در صورتی که نسبت تشعشع به هدایت کوچک‌تر از 10^{-5} باشد، می‌توان از اثر تشعشع بر روی توزیع دما چشم‌پوشی کرد.



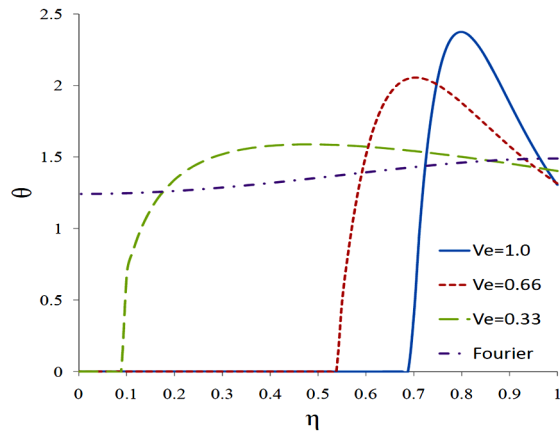
شکل (۹): توزیع دما در کره توخالی برای مقادیر مختلف نسبت تشعشع به هدایت.

در شکل ۶ نیز اصول حرکت موج حرارتی مشابه حالت فوق است و در موج رفت (نمودارهای نمودارهای $\tau = 0/2$ و $\tau = 0/4$) افزایش دامنه موج حرارتی و در موج برگشتی از مرکز کره (نمودارهای $\tau = 0/7$ و $\tau = 0/9$) کاهش دامنه موج حرارتی مشاهده می‌گردد. نکته قابل توجه در مقایسه بین شکل‌های ۵ و ۶ تغییر در شکل موج برگشتی از مرکز کره می‌باشد که از حالت منحنی خارج شده و به صورت نوک تیز درآمده است. علت این تغییر شکل برخورد منحنی با مرکز کره می‌باشد که ظرفیت حرارتی حجمی بسیار پایینی دارد. با رسیدن موج حرارتی به مرکز، تمامی انرژی موجود در این نقطه ذخیره شده و در نتیجه دما در آن بسیار بالا می‌رود. تمامی این انرژی نیز به علت پایین بودن ظرفیت حرارتی حجمی به صورت ناگهانی آزاد شده و در نهایت شکل موج برگشتی تغییر می‌کند.

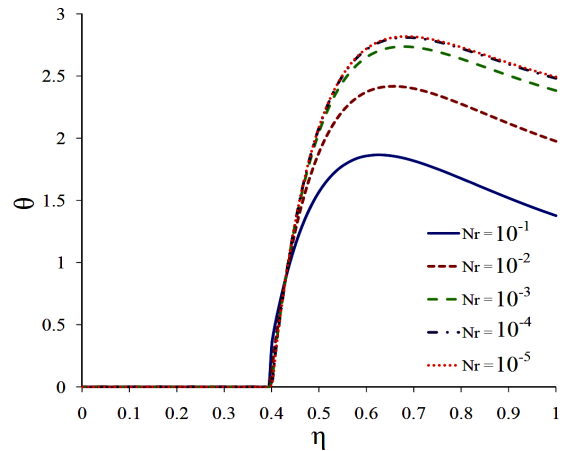
اثر میزان انتقال حرارت جابه‌جایی بر روی دمای بی‌بعد در شکل‌های ۷ و ۸ نشان داده شده است که در آن، توزیع دما در کره توپر و توخالی برای مقادیر مختلف نسبت جابه‌جایی به هدایت، به‌ازای مقادیر $N_c = 10^{-5}$ ، $Ve = 0/5$ ، $\tau = 0/3$ و $\tau_p = 0/1$ رسم شده است. در مقایسه نمودارهای توزیع دما مشاهده می‌شود با بالا رفتن نسبت جابه‌جایی به هدایت که به معنای افزایش اثر جابه‌جایی است، جسم سریع‌تر خنک شده و دما در ناحیه پس از جبهه موج کاهش می‌یابد. همچنین با توجه به اختلاف اندک نمودارهای توزیع دما برای $N_c = 10^{-2}$ و $N_c = 10^{-3}$ ، در صورتی که نسبت جابه‌جایی به هدایت کوچک‌تر از 10^{-3} باشد، می‌توان از اثر جابه‌جایی بر روی توزیع دما صرف نظر کرد.



شکل (۷): توزیع دما در کره توخالی برای مقادیر مختلف نسبت جابه‌جایی به هدایت.



شکل (۱۲): توزیع دما در کره توپر برای مقادیر مختلف عدد ورنوت.

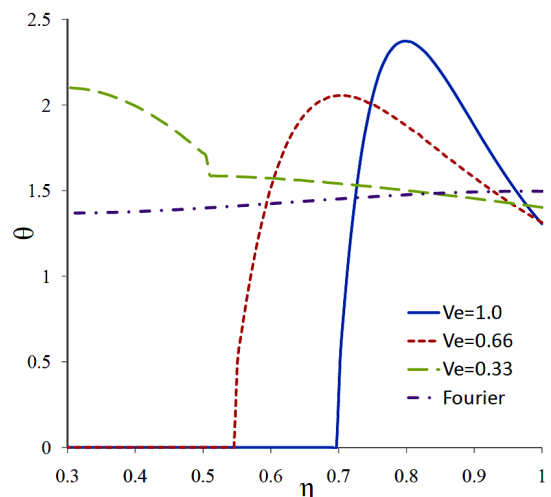


شکل (۱۰): توزیع دما در کره توپر برای مقادیر مختلف نسبت تشعشع به هدایت.

عدد ورنوت با زمان آسایش رابطه مستقیم دارد. هر اندازه این عدد و در نتیجه زمان آسایش بالاتر باشد، اثرات غیرفوریهای در توزیع حرارت و دامنه موج حرارتی بیشتر است. این موضوع در شکل‌های مذکور به خوبی مشاهده می‌شود. در این شکل‌ها توزیع دما در حالت فوریهای و هذلولوی نیز با یکدیگر مقایسه شده است. در حالت فوریهای موج حرارتی درون جسم وجود ندارد و توزیع دما در کره تقریباً به صورت خطی می‌باشد. برای به دست آوردن دما در حالت فوریهای، عدد ورنوت در معادلات (۳۱ و ۳۲) برابر با صفر قرار داده می‌شود و در نتیجه معادله انتقال گرمای هذلولوی به معادله انتقال گرمای فوریهای تبدیل می‌شود. نکته قابل توجه دیگر در این نمودارها تأثیر عدد ورنوت بر سرعت انتشار موج حرارتی درون جسم است. بر طبق معادله (۷)، سرعت انتشار موج حرارتی با زمان آسایش نسبت معکوس دارد و بنابراین با کاهش عدد ورنوت و در نتیجه کاهش زمان آسایش، سرعت انتشار موج حرارتی درون جسم بالا می‌رود. این موضوع در مقایسه نمودارهای توزیع دما برای مقادیر مختلف عدد ورنوت به وضوح دیده می‌شود که در زمان یکسان با کاهش عدد ورنوت، فاصله جبهه موج از سطح خارجی کره بیشتر شده که نشان دهنده افزایش سرعت موج حرارتی است. نمودار توزیع دما برای $Ve=0.33$ در شکل‌های ۱۱ و ۱۲ تفاوت قابل توجهی با یکدیگر دارند. علت این تفاوت کوتاه‌تر بودن مسیر حرکت موج حرارتی در کره توخالی است که در نتیجه، این موج زودتر به سطح داخلی کره توخالی رسیده و منعکس می‌شود، در حالی که در همان زمان موج حرارتی هنوز به مرکز کره توپر نرسیده است. بنابراین،

با مقایسه شکل‌های ۱۰-۷ دریافته می‌شود که در شرایط یکسان، نسبت تشعشع به هدایت بر روی توزیع دما، تأثیر بیشتری از نسبت جابه‌جایی به هدایت دارد. همچنین مقدار حدی نسبت تشعشع به هدایت برابر یکصدم مقدار حدی نسبت جابه‌جایی به هدایت است و برابر با 10^{-5} می‌باشد که دلیل هر دو موضوع، وجود توان چهارم دما در عبارت مربوط به تشعشع است.

در شکل‌های ۱۱ و ۱۲ توزیع دما در کره توپر و توخالی برای مقادیر مختلف عدد ورنوت برای مقادیر ثابت $Nr_c=0/1$ ، $Nr_i=0/1$ ، $\tau=0/3$ و $\tau_p=0/1$ نشان داده شده است.



شکل (۱۱): توزیع دما در کره توخالی برای مقادیر مختلف عدد ورنوت.

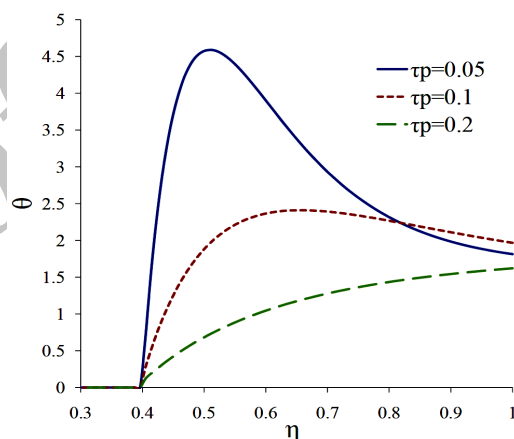
۶- نتیجه گیری

در مقاله حاضر، معادله انتقال گرمای غیرفوری‌ای در یک کره با شرایط مرزی غیرخطی حل گردید و توزیع دمای بی‌بعد در حالات مختلف به دست آمد. در توزیع دما، حرکت موج گرمایی با سرعت محدود مشاهده شد. تأثیر متغیرهای مختلف مانند زمان آسایش، مدت زمان تابش لیزر، نسبت جابه‌جایی به هدایت و نسبت تشعشع به هدایت بر روی توزیع دما مورد بررسی قرار گرفت. با افزایش زمان آسایش که به معنای افزایش اثرات غیرفوری‌ای است، دامنه موج و سرعت انتشار موج حرارتی درون جسم افزایش یافت. همچنین توزیع دما در حالت فوری‌ای و هذلولوی نیز با یکدیگر مقایسه شد. در حالت فوری‌ای موج حرارتی درون کره مشاهده نشد. با افزایش نسبت جابه‌جایی به هدایت و نیز نسبت تشعشع به هدایت، انتقال گرما از سطح کره بیشتر شد و دما درون کره سریع‌تر کاهش یافت.

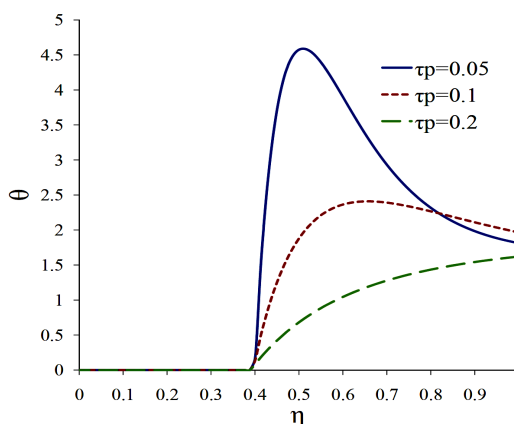
۷- مراجع

- Cattaneo, C. "Sulla Conduzione De Calore", Atti Seminar. Mat. Fis. Univ. Modena, Vol. 3, pp. 83-101, 1949.
- Vernotte, P. "Les Paradoxes de la Theorie Continue de L'equation de la Chaleur", Compute Rendus, Vol. 246, pp. 3145-3155, 1958.
- Wang, L., Zhou, X., and Wei, X. "Heat Conduction: Mathematical Models and Analytical Solutions", Springer, Berlin, 2008.
- Chua, C.K., Leong, K.F., and Lim, C.S. "Rapid Prototyping: Principles and Applications, 2nd Edition", World Sci., Singapore, 2003.
- Liou, F.W. "Rapid Prototyping and Engineering Applications: A Toolbox for Prototype Development", CRC Press, New York, 2008.
- Zamani, J. and Partovipour, H. "Rapid Prototyping Technology in Mechanical Engineering", K.N. Toosi Univ. Press, Tehran, 2009 (In Persian).
- Mirahmadi, A., Saedodin, S., and Shanjani, Y. "Temperature Distribution in Binding Process of Plasma Aided Rapid Prototyping Using Integral Transform", J. Aerospace Mechanics, Vol. 2, No. 1, pp. 45-54, 2006. (In Persian).
- Ghoreishi, M., and Naderifard, A. "Thermal and Mechanical Modeling of Electro Discharge Machining Process Using Finite Element Method (FEM)", J. Aerospace Mechanics, Vol. 8, No. 4, pp. 1-11, 2012. (In Persian).
- Jiang, F. "Solution and Analysis of Hyperbolic Heat Propagation in Hollow Spherical Objects", J. Heat Mass Transfer, Vol. 42, No. 12, pp. 1083-1091, 2006.

نمودار توزیع دما در کره توپر و توخالی اختلاف قابل توجهی با یکدیگر پیدا می‌کنند. تأثیر مدت زمان تابش لیزر بر روی توزیع دما در شکل‌های ۱۳ و ۱۴ مورد بررسی قرار گرفته است. مدت زمان تابش لیزر با متغیر τ_p بیان می‌شود. با کوتاه‌تر شدن این مدت، میزان انرژی وارده در لحظات اولیه بالاتر رفته و در نتیجه دامنه موج حرارتی افزایش پیدا می‌کند. از سوی دیگر با توجه به معادله (۲۲)، شار حرارتی با کاهش τ_p ، سریع‌تر به مقدار صفر می‌رسد. بنابراین، با کاهش مدت زمان تابش لیزر، شار حرارتی در بازه زمانی کوتاه‌تری بر سطح خارجی اعمال شده و در نتیجه تغییرات دما در هر دو قسمت قبل و بعد از قله موج بیشتر می‌شود. شکل‌های ۱۳ و ۱۴ برای مقادیر ثابت $N_c=0.01$ ، $N_i=0.01$ ، $\tau=0.3$ و $Ve=0.5$ ترسیم شده‌اند.



شکل (۱۳): توزیع دما در کره توخالی برای مقادیر مختلف مدت زمان تابش لیزر.



شکل (۱۴): توزیع دما در کره توپر برای مقادیر مختلف مدت زمان تابش لیزر.

19. Jiji, L.M. "Heat Conduction", Third Ed., Springer, Berlin, 2009.
20. Mirahmadi, A., Saedodin, S., and Shanjani, Y. "Numerical Heat Transfer Modeling in Coated Powder as Raw Material of Powder-Based Rapid Prototyping Subjected to Plasma Arc", Numerical Heat Transfer, Part A, Vol. 51, No. 6, pp. 593-613, 2007.
21. Mirahmadi, A., Saedodin, S., and Shanjani, Y. "Feasibility Study of High Frequency Plasma Aided Rapid Prototyping", Int. J. Machine Tools & Manufacture, Vol. 47, No. 5, pp. 722-728, 2007.
22. Arpaci, V.S. "Conduction Heat Transfer", Addison-Wesley, Massachusetts, 1966.
23. Carslaw, H.S. and Jaeger, J.C. "Conduction of Heat in Solids", Second Ed., Oxford Univ. Press, London, 1959.
24. Kakac, K. and Yener, Y. "Heat Conduction", 3rd Ed., Taylor & Francis, Washington, 1993.
25. Ozisik, M.N. "Heat Conduction", Second Ed., John Wiley & Sons, New York, 1993.
26. Valko, P.P. and Abate, J. "Comparison of Sequence Accelerators for the Gaver Method of Numerical Laplace Transform Inversion", Int. J. Computers and Mathematics with Applications, Vol. 48, No. 3-4, pp. 629-636, 2004.
27. Abate, J. and Valko, P.P. "Multi-Precision Laplace Transform Inversion", Int. J. for Numerical Methods in Eng., Vol. 60, No. 5, pp. 979-993, 2004.
28. Cohen, A.M. "Numerical Methods for Laplace Transform Inversion", Springer, New York, 2007.
29. Tsai, C.S., Lin, Y.C., and Hung, C.I. "A Study on the Non-Fourier Effects in Spherical Media Due to Sudden Temperature Changes on the Surfaces", Heat Mass Transfer, Vol. 41, No. 8, pp.709-716, 2005.
10. Lewandowska, M. "Hyperbolic Heat Conduction in the Semi-Infinite Body with Time Dependent Laser Heat Source", J. Heat and Mass Transfer, Vol. 37, No. 4-5, pp. 333-342, 2001.
11. Dai, W., Shen, L., Nassar, R. and Zhu, T. "A Stable and Convergent Three-Level Finite Difference Scheme for Solving a Dual-Phase-Lagging Heat Transport Equation in Spherical Coordinates", Int. J. Heat and Mass Transfer, Vol. 47, No. 8-9, pp. 1817-1825, 2004
12. Shirmohammadi, R. "Temperature Transients in Spherical Medium Irradiated by Laser Pulse", Int. Communications in Heat and Mass Transfer, Vol. 35, No. 8, pp. 1017-1023, 2008
13. Shirmohammadi, R. and Moosaie, A. "Non-Fourier Heat Conduction in a Hollow Sphere with Periodic Surface Heat Flux", Int. Communications in Heat and Mass Transfer, Vol. 36, No. 8, pp. 827-833, 2009.
14. Babaei, M.H. and Chen, Z.T. "Hyperbolic Heat Conduction in a Functionally Graded Hollow Sphere", Int. J. Thermophys, Vol. 29, No. 4, pp. 1457-1469, 2008.
15. Chen, T.M. and Chen, C.C. "Numerical Solution for the Hyperbolic Heat Conduction Problems in the Radial-Spherical Coordinate System Using a Hybrid Green's Function Method", Int. J. Thermal Sci., Vol. 49, No. 7, pp. 1193-1196, 2010.
16. Hoffmann, K.A. and Chiang S.T. "Computational Fluid Dynamics", Fourth Ed., Eng. Edu. System, Wichita, 2000.
17. Tannehill, J.C., Anderson, D.A., and Pletcher, R.H. "Computational Fluid Mechanics and Heat Transfer", Second Ed., Taylor & Francis, Washington, 1997.
18. Liu, K.Ch., Lin, Ch.N., and Wang, J.Sh. "Numerical Solutions for the Hyperbolic Heat Conduction Problems in a Layered Solid Cylinder with Radiation Surface", App. Mathematics and Computation, Vol. 164, No. 3, pp.805-820, 2005.